

بهینه‌سازی بهره‌برداری از مخازن سدهای چندمنظوره با کاربرد روش بهینه‌سازی مجموعه ذرات

امید بزرگ حداد^۱

الهه فلاح مهدی پور^۱

(دریافت ۸۹/۱۱/۲۶ آخرین اصلاحات دریافتی ۹۰/۵/۲ پذیرش ۹۰/۵/۱۰)

چکیده

بهره‌برداری بهینه از مخازن چندمنظوره یکی از مسائل پیچیده و گاهًا غیرخطی مطرح در بهینه‌سازی چندهدفه است. الگوریتم‌های فرآکاوشی ابزار بهینه‌سازی مناسبی هستند که با شبیه‌سازی رفتار جانداران به جستجوی فضای تصمیم برداخته و امکان ارائه مجموعه‌ای از نقاط را به عنوان مجموعه جواب مسئله دارند. لذا در این تحقیق، کاربرد الگوریتم MOPSO در مسئله بهره‌برداری بهینه از مخزن بازفت، با اهداف تولید انرژی برقابی، تأمین نیاز پایین دست (شرب، صنعت و کشاورزی)، کنترل سیلاب و تغییرات مورد بررسی قرار گرفت. به این منظور، در ابتدا مقایسه‌ای میان مجموعه جوابهای حاصل از الگوریتم MOPSO در ترکیبات دوتایی اهداف اشاره شد و CP با ضرایب وزنی و توانی مختلف صورت پذیرفت که الگوریتم MOPSO در تمامی ترکیبات اهداف در ارائه مجموعه جوابهایی با توزیع مناسب نقاط نسبت به CP از برتری برخوردار بود و بر جوابهای CP غایب نمود. در ادامه مقایسه دیگری میان، نقاط انتهایی مجموعه جواب الگوریتم NLP و MOPSO صورت گرفت که جوابهای الگوریتم MOPSO با متوسط 0.3 ± 0.03 درصد اختلاف با NLP، قابلیت زیادی در ارائه جوابهای بهینه در نقاط انتهایی مجموعه جواب داشت.

واژه‌های کلیدی: بهره‌برداری بهینه، چندهدفه، الگوریتم مجموعه ذرات، سیستم مخازن

Optimization of Multipurpose Reservoir Operation with Application Particle Swarm Optimization Algorithm

Elahe Fallah Mehdipour¹

Omid Bozorg Haddad²

(Received Feb. 15, 2011 Revised July 24, 2011 Accepted Aug. 1, 2011)

Abstract

Optimal operation of multipurpose reservoirs is one of the complex and sometimes nonlinear problems in the field of multi-objective optimization. Evolutionary algorithms are optimization tools that search decision space using simulation of natural biological evolution and present a set of points as the optimum solutions of problem. In this research, application of multi-objective particle swarm optimization (MOPSO) in optimal operation of Bazoft reservoir with different objectives, including generating hydropower energy, supplying downstream demands (drinking, industry and agriculture), recreation and flood control have been considered. In this regard, solution sets of the MOPSO algorithm in bi-combination of objectives and compromise programming (CP) using different weighting and power coefficients have been first compared that the MOPSO algorithm in all combinations of objectives is more capable than the CP to find solution with appropriate distribution and these solutions have dominated the CP solutions. Then, ending points of solution set from the MOPSO algorithm and nonlinear programming (NLP) results have been compared. Results showed that the MOPSO algorithm with 0.3 percent difference from the NLP results has more capability to present optimum solutions in the ending points of solution set.

Keywords: Optimal Operation, Multi-Objective, Particle Swarm Optimization (PSO), Reservoir System.

1. Ph.D. Student of Water Resources, Dept. of Irrigation and Reclamation, College of Tech. and Agriculture Eng., Pardis of Agriculture and Natural Resources, Tehran University, Tehran

۱- دانشجوی دکترای منابع آب، گروه مهندسی آبیاری و آبادانی، دانشکده مهندسی فناوری و کشاورزی، پردیس کشاورزی و منابع طبیعی، دانشگاه تهران، تهران
۲- دانشیار گروه مهندسی آبیاری و آبادانی، دانشکده مهندسی فناوری و کشاورزی، پردیس کشاورزی و منابع طبیعی، دانشگاه تهران، تهران (نویسنده مسئول) (۰۲۶۳) ۲۲۴۱۱۱۹

2. Assoc. Prof. of Irrigation and Reclamation, College of Tech. and Agriculture Eng., Pardis of Agriculture and Natural Resources, Tehran University, Tehran (Corresponding Author) (+98 263) 2241119 OBHaddad @ut.ac.ir

۲- دانشیار گروه مهندسی آبیاری و آبادانی، دانشکده مهندسی فناوری و کشاورزی، پردیس

OBHaddad@ut.ac.ir

۱- مقدمه

در سال ۱۳۸۶ در بهره‌برداری بهینه ایستگاه‌های پمپاژ، چاو و همکاران^۷ در سال ۱۹۹۸ در پیش‌بینی تراز سطح آب، معراجی و همکاران در سال ۲۰۰۶ در بهره‌برداری تک‌هدفه سد دز، استفاده از آنها در حل مسائل بهینه‌سازی چند‌هدفه^۸ گسترش یافته است[۳-۵].

در تحقیق حاضر با توجه به اهمیت بهره‌برداری بهینه از مخازن چندمنظوره و کاربردهای موفق الگوریتم PSO تک‌هدفه، استفاده و کاربرد الگوریتم مجموعه ذرات چند‌هدفه^۹ در مسئله بهره‌برداری مخزن مورد بررسی قرار گرفت.

در زمینه بهره‌برداری چندمنظوره مخزن، بالتر^{۱۰} و فونتن^{۱۱} در سال ۲۰۰۶ کاربرد الگوریتم پیشنهادی کوئلو^{۱۲} و لکونتا^{۱۳} در سال ۲۰۰۲ را در مسئله بهره‌برداری مخزن بررسی کرداند و نتایج را با روش قید-اپسیلون^{۱۴} مقایسه نموده‌اند[۶ و ۷]. کومار^{۱۵} و ردی^{۱۶} در سال ۲۰۰۷ با استفاده از الگوریتم PSO و با بهره‌گیری از تکنیک وزن‌دهی و تبدیل مسئله چند‌هدفه به تک‌هدفه همچنین فرایندهای تکاملی نظری نخبه‌گرایی و جهش در فرایند جستجوی تک‌هدفه، مسئله بهره‌برداری مخزن با اهداف کشاورزی و تولید انرژی برقابی را مورد بررسی قرار داده‌اند[۸]. به این ترتیب گرچه نتایج به دست آمده از الگوریتم PSO در حالت تک‌هدفه نسبت به الگوریتم اولیه PSO بهبود یافته است، اما در واقع این مسئله با الگوریتم PSO تک‌هدفه حل شده است.

در تحقیق حاضر، مقایسه‌ای میان برنامه‌ریزی سازشی^{۱۷} که با تبدیل مسئله چند‌هدفه به تک‌هدفه به جستجوی جواب بهینه می‌پردازد و یکی از روشهای بهینه‌سازی چند‌هدفه بر مبنای الگوریتم PSO که کارایی آن در حل مسائل بهینه‌سازی ریاضی اثبات گشته است، صورت پذیرفت. همچنین مجموعه جواب ارائه شده توسط الگوریتم چند‌هدفه از نظر دستیابی به بهینه‌های تک‌هدفه با توجه به قابلیتهای بالای برنامه‌ریزی غیرخطی^{۱۸} در مشخص نمودن جواب بهینه در یک مسئله بهینه‌سازی با جوابهای تک‌هدفه حاصل از مقایسه شد. زمان اجرای برنامه و عدم دستیابی به جوابهایی که از توزیع مناسبی برخوردار هستند می‌تواند به عنوان محدودیتهای مدل مطرح گردد. در مقابل این محدودیتها، ارائه مجموعه‌ای از جوابها

در سالهای اخیر افزایش جمعیت، محدودیت منابع آب و توزیع غیر یکنواخت آن و همچنین استفاده بی‌رویه از این منابع محدود، لزوم مدیریت و بهره‌برداری بهینه از منابع موجود را پیش از پیش نمایان ساخته است. از جمله سازه‌هایی که در حوزه منابع آب به‌منظور ذخیره و استفاده از منابع آب سطحی استفاده می‌گردد، مخزن سطحی است. برای بهره‌برداری بهینه از یک مخزن باید مقدار تابع هدف و متغیرهای مورد نظر به‌منظور برآورده نمودن نیاز طرح شده، بهینه گرددند. در حالت واقعی معمولاً برای بهره‌برداری از یک مخزن، اهداف متفاوتی نظیر تأمین آب شرب، کشاورزی و صنعت در مناطق پایین دست، تولید انرژی برقابی و کنترل سیلاب و تفریحات تعریف می‌شوند که می‌توانند همسو یا ناهمسو با یکدیگر باشند. بنابراین به‌منظور در نظر گرفتن تمامی اهداف بالا به‌طور همزمان سیستم تعریف شده به‌منظور بهره‌برداری بهینه از مخزن به صورت چند‌هدفه در نظر گرفته می‌شود.

روندها در جواب بهینه مسئله با توجه به پیچیدگی‌های حاکم بر مسائل منابع آب، به خصوص مسائل بهشت مقرر، گاه با مشکل روپرداز است. به‌منظور رفع این مشکل استفاده از روشهای تکاملی^۱ و فرآکاوشی^۲ گسترش یافته است. الگوریتم‌های فرآکاوشی برگرفته از علوم کامپیوتر و روشهای تصادفی هستند که با استفاده از یک فرایند تکراری جستجوی فضای تصمیم، به ارائه جواب بهینه می‌پردازن. الگوریتم‌های تکاملی نیز روشهای جستجوی تصادفی هستند که حرکت در آنها شبیه به تکامل بیولوژیکی یا رفتار اجتماعی گونه‌های مختلف جانداران است. برای مثال، چگونه مورچه‌ها کوتاه‌ترین مسیر تا منبع غذایی را پیدا می‌نمایند و یا چگونه پرنده‌گان به منبع غذایی در طول دوره مهاجرت دست می‌یابند[۱]. کاربرد موفقیت آمیز انواع روشهای الهام گرفته شده از طبیعت، همچون نورد شیوه‌سازی شده^۳. الگوریتم ژنتیک^۴ و شبکه‌های عصبی مصنوعی^۵ در مسائل بسیار پیچیده مهندسی آنچنان ایده‌آل بوده است که سیستم‌های طبیعی به عنوان منبع اساسی ایده‌های مدل‌سازی و ایجاد سیستم‌های مصنوعی مختلف مورد پذیرش و توجه خاص قرار گرفته‌اند[۲].

یکی از انواع الگوریتم‌های تکاملی، الگوریتم بهینه‌سازی ذرات تجمعی^۶ است که پس از اثبات کارایی آن در حل مسائل تک‌هدفه در حوزه‌های مختلف منابع آب در مطالعاتی نظیر رجب‌پور و افسار

⁷ Chow et al.

⁸ Multiobjective Optimization

⁹ Multi-Objective Particle Swarm Optimization (MOPSO)

¹⁰ Balter

¹¹ Fontane

¹² Coello

¹³ Lechungu

¹⁴ E- Constraint Method

¹⁵ Kumar

¹⁶ Reddy

¹⁷ Compromise Programming (CP)

¹⁸ Non-Linear Programming (NLP)

¹ Evolutionary

² Meta-heuristic

³ Simulated Annealing (SA)

⁴ Genetic Algorithm (GA)

⁵ Artificial Neural Network (ANN)

⁶ Particle Swarm Optimization (PSO)

$$v_{id}^{n+1} = \chi \cdot \begin{pmatrix} W \cdot v_{id}^n + c_1 r_i^n (Pbest_{id}^n - x_{id}^n) \\ c_2 r_i^n (Gbest_d^n - x_{id}^n) \end{pmatrix} \quad (1)$$

$$x_{id}^{n+1} = x_{id}^n + v_{id}^{n+1} \quad v_{Min} \leq v_{id}^{n+1} \leq v_{Max} \quad (2)$$

که در این روابط

$d = 1, \dots, N$ ، $i = 1, \dots, D$ و N اندازه جمعیت و D پارامتر وزن اینرسی بوده که ساختار مؤثری در همگایی مجموعه است و قابلیت مجموعه را در دستیابی بهینه فراگیر و محلی و استخراج جواب بهینه تنظیم می‌نماید. لذا انتخاب مناسب آن در چگونگی حرکت به سمت نقطه بهینه تأثیرگذار است. چنانچه مقادیر بزرگ‌تری به این پارامتر اختصاص یابد فضای تصمیم در محدوده وسیع تری جستجو شده و در نتیجه رسیدن به نقطه بهینه فراگیر تسريع می‌گردد، در حالی که انتخاب مقادیر کم برای این پارامتر به اکتشاف نقاط بهینه محلی و استخراج نقطه بهینه کمک می‌کند. C_1 و C_2 دو ضریب ثابت و مثبت هستند که انتخاب مناسب آنها بر افزایش یا کاهش سرعت همگایی تأثیرگذار است. چنانچه مقادیر کمی به این دو پارامتر اختصاص یابد، جستجو در محدوده کوچک‌تر و همگایی کنترل خواهد بود و بر عکس اگر مقادیر بزرگ‌تری به آنها نسبت داده شود، فضای وسیع تر با سرعت بیشتری جستجو خواهد شد. پارامترهای C_1 و C_2 برای حفظ تنوع جستجو در بین نقاط مختلف به عنوان ضریب $Pbest$ و $Gbest$ به کار می‌روند که اعداد تصادفی در محدوده صفر و یک با توزیع یکنواخت هستند. پارامتر X فاکتور انقباض است که بزرگی و اندازه سرعتها را در هر مرحله کنترل می‌نماید. انتخاب مقادیر بزرگ این پارامتر با جستجوی فضای بیشتری از فضای تصمیم و مقادیر کوچک‌تر آن با جستجوی فضای کوچکی همراه است.

۲- الگوریتم MOPSO

در تحقیق حاضر ابزار بهینه‌سازی، الگوریتم MOPSO بود که فرایند جستجو را با تولید مجموعه‌های تصادفی به تعداد اهداف، با مشخصات یکسان (تعداد ذره و ابعاد) و توزیع یکنواخت آغاز نمود. ساختار آن مشابه روشی است که پارسپولوس^۵ و وراهیتیس^۶ در سال ۲۰۰۲ با نام بردار ارزیابی الگوریتم مجموعه ذرات^۷ را ارائه نموده‌اند^[۱۰]. در این روش برای هر هدف یک مجموعه تولید شده و $Gbest$ مرتبط با آن در هر تکرار استخراج می‌گردد. برای رفتan به مرحله بعدی، هر مجموعه $Gbest$ خود را به مجموعه بعدی منتقل

به جای تنها یک جواب در هر بار اجرای برنامه می‌تواند از جمله مزایای استفاده از الگوریتم MOPSO باشد که در ادامه مقایسه‌ای نیز به‌منظور بررسی این موارد صورت پذیرفت.

۲- روش تحقیق

۲-۱- الگوریتم PSO

محققان متعددی قوانین حاکم بر رفتار پرنده‌گان و ماهیان را مورد مطالعه قرار داده و آن را شبیه‌سازی نموده‌اند. با رعایت قوانین حاکم بر مجموعه، گروه پرنده‌گان و ماهیان قادراند به حرکت خود به سمت غذا، لانه و غیره ادامه داده و بدون اینکه خللی در حرکت دیگر اعضا بوجود آید بهترین مسیر را به سمت مقصد مورد نظر انتخاب نمایند. در واقع با تقسیم اطلاعات بین اعضای گروه، فرایند انتخاب مسیر بهینه شکل می‌گیرد. الگوریتم PSO اولین بار توسط کندی^۱ و ابرهارت^۲ در سال ۱۹۹۵ معرفی گردیده است[۹]. این الگوریتم نیز مانند سایر الگوریتم‌های جمعی، با جمعیت تصادفی شروع به کار کرد. در واقع هر کدام از اعضا یک ذره^۳ هستند که مجموعه^۴ را بوجود می‌آورند. این مجموعه به سمت نقطه بهینه حرکت می‌کند. ذره و مجموعه در فضای تصمیم به سمت نقطه بهینه حرکت می‌کند. به این ترتیب بردار حرکت هر ذره در هر تکرار تحت تأثیر بهترین موقعیتی که ذره تاکنون به آن رسیده است ($Pbest$) و بهترین موقعیتی که بهترین عضو مجموعه تاکنون به آن رسیده است ($Gbest$). می‌باشد. در این حالت در هر تکرار متناظر با هر ذره یک تابع هدف محاسبه می‌شود. در تکرار اول، موقعیت اولیه هر ذره به عنوان $Pbest$ و ذره متناظر با بهترین مقدار تابع هدف، به عنوان $Gbest$ انتخاب می‌شود. در تکرارهای بعدی چنانچه مقدار تابع هدف جدید هر ذره بهتر از مقدار قبلی باشد، موقعیت ذره جدید به عنوان $Pbest$ انتخاب خواهد شد و در غیر این صورت موقعیت ذره در تکرار قبلی به عنوان $Pbest$ شناخته می‌شود. در مورد $Gbest$ نیز محاسبه مشابهی صورت می‌گیرد با این تفاوت که این بار مقایسه بین کلیه ذرات مجموعه در کل تکرارها انجام خواهد شد. در نهایت سرعت محاسبه شده برایندی از فاصله هر ذره نسبت به $Pbest$ و $Gbest$ است. در یک مسئله D بعدی، موقعیت آمین $X_i = (X_{i1}, X_{i2}, \dots, X_{iD})^T$ ذره از جمعیت با بردار D بعدی^۴ نمایش داده می‌شود. به‌منظور نمایش سرعت این ذره نیز از بردار $V_i = (V_{i1}, V_{i2}, \dots, V_{iD})^T$ و برای شماره تکرار از n استفاده شده است. در نهایت جمعیت با استفاده از روابط زیر و به صورت هدفمند به سمت نقطه بهینه حرکت می‌کند

¹ Kennedy

² Eberhart

³ Particle

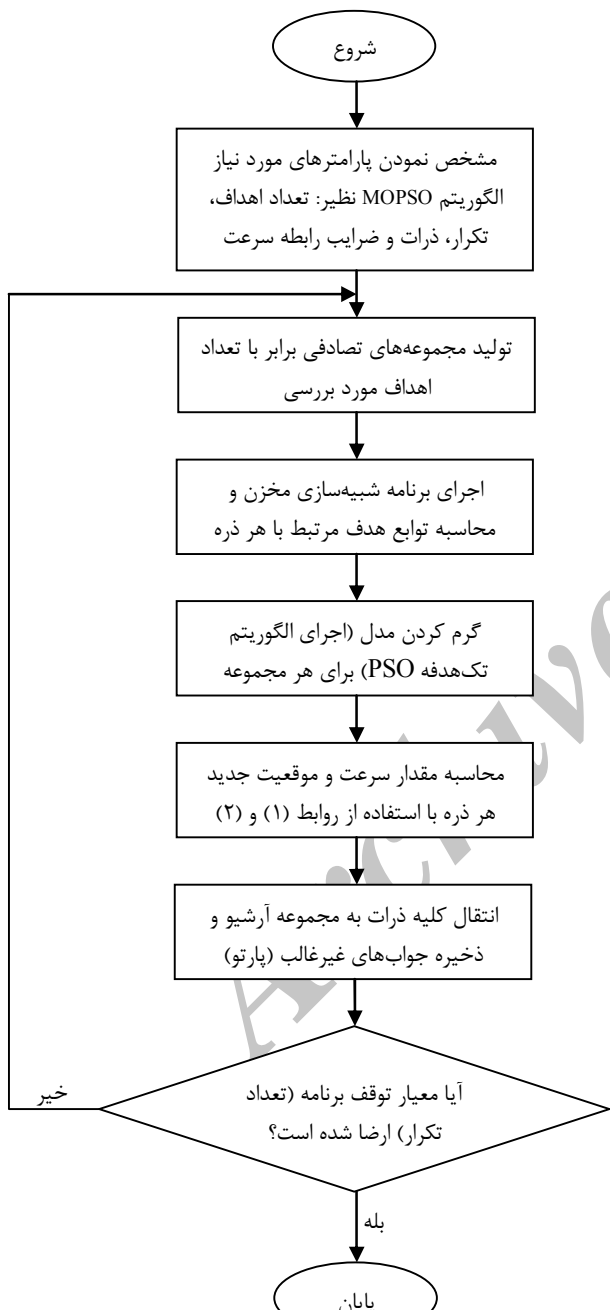
⁴ Swarm

⁵ Parsopoulos

⁶ Vrahatis

⁷ Vector Evaluated PSO (VEPSO)

درجه اهمیت (وزن) هدف زام و P عددی بین یک تا بی‌نهایت که مشخص‌کننده تأکید به انحرافات موجود است به‌گونه‌ای که هرچه این ارزش بزرگ‌تر باشد، تأکید بیشتری بر بزرگ‌ترین انحرافات خواهد بود. معمولاً ارزش‌های P برابر ۱، P برابر ۲ و P برابر ۰۰ در محاسبات به کار گرفته می‌شوند که ارزش این متغیر به معیارهای تصمیم‌گیرنده بستگی دارد [۱۲].



شکل ۱- مراحل مختلف مدل‌سازی در الگوریتم مورد استفاده در تحقیق حاضر

می‌کند. این در حالی است که P_{best} برای هر مجموعه به‌طور اختصاصی به‌دست می‌آید. در نهایت پس از تعداد مشخصی تکرار، مجموعه حاصل از آخرین مجموعه، به‌عنوان مجموعه نهایی و نقاط غیرغالب آن به‌عنوان مجموعه جواب یا پارت تو معرفی می‌گردد. اعضای مجموعه پارت تو هیچ برتری بر یکدیگر نداشته و با کاهش مقدار یک تابع هدف، مقدار تابع هدف دیگر افزایش می‌یابد و بر عکس، در روش مورد استفاده در این تحقیق، فرایند جستجو مانند الگوریتم VEPSO بود، با این تفاوت که در هر تکرار همه ذرات به آرشیو خارجی منتقل شد و مجموعه جواب‌های غیرغالب در آن نگهداری و بقیه حذف شدند. در نهایت اعضای این آرشیو به‌عنوان مجموعه جواب‌های غیرغالب ارائه شدند. همچنین به‌منظور کاهش مجموع فواصل نقاط پارت تو نسبت به محل اصلی خود از فرایندی به نام گرم کردن^۱ مدل که در واقع بهینه‌سازی تک‌هدفه است، استفاده شد. به این منظور قبل از شروع فرایند جستجوی چندهدفه، هر کدام از مجموعه‌ها با توجه به هدف تعریف شده P_{best} و G_{best} خود را دنبال کرد و بهینه‌سازی به صورت تک‌هدفه برای هر مجموعه انجام شد. جستجوی تک‌هدفه با توجه به تعداد مشخصی تکرار که توسط کاربر تعیین گردید و یا مشخص نمودن مقدار تفاوت تابع هدف در دو تکرار متوالی به‌عنوان شاخصی به‌منظور توقف آن ادامه پیدا کرد. پس از طی این فرایند، جستجوی چندهدفه با توجه به مباحثی که تاکنون مطرح گردید، آغاز شد و طی تعداد مشخصی تکرار ادامه یافت. شکل ۱ مراحل مختلف مدل‌سازی الگوریتم MOPSO و چگونگی استفاده از مدل بهره‌برداری مخزن در آن را نمایش می‌دهد.

۲-۳- برنامه‌ریزی سازشی
زنلی^۲ در سال ۱۹۷۳ برای اولین بار این روش را ارائه نموده است [۱۱]. در این روش به‌منظور ایجاد حالت بهینه، از سنجش نزدیکی یک راه حل موجود نسبت به راه حل ایده‌آل استفاده می‌گردد. این سنجش از انحراف به‌وسیله یک تابع ریاضی به شکل رابطه ۳ انجام می‌گیرد.

$$\text{Min. } Z = \left[\sum_{j=1}^n \gamma_j \left(\frac{f_j(x) - f_j(x^{*j})}{f_j(x^{*j}) - f_j(x)} \right)^P \right]^{\frac{1}{P}} \quad (3)$$

که در این رابطه X^{*j} راه حل ایده‌آل هدف زام، X^{*j} نشان‌دهنده نامناسب‌ترین راه حل موجود در بهینه‌سازی هدف زام، X راه حل مفروض، γ_j نشان‌دهنده

¹ Warm up
² Zeleny

به منظور بهره‌برداری مناسب مخزن، رابطه ۱۱ برای حجم مخزن در نظر گرفته شد

$$S_t = S_{t+1} \quad (11)$$

که در این رابطه S_t و S_{t+1} به ترتیب حجم ابتدا و انتهای دوره‌های بهره‌برداری بر حسب میلیون مترمکعب است.

در این تحقیق اهداف تأمین نیاز پایین دست، کنترل سیلاپ و تفریحات و تولید انرژی بر قابی به منظور بهره‌برداری سیستم مخازن در نظر گرفته شد. سه خروجی بر قابی، تأمین نیاز پایین دست و کنترل سیلاپ برای این مخزن در نظر گرفته شد که در حالتهای مختلف بهره‌برداری، ابتداء رهاسازی آب از خروجی بر قابی سپس از خروجی تأمین نیاز و در نهایت از خروجی کنترل سیلاپ خارج گردید. به این ترتیب تا زمانی که از خروجی دیگر استفاده نمی‌گردد ظرفیت آن استفاده نشده از دو خروجی دیگر استفاده نمی‌گردد همچنین پس از استفاده از خروجی تأمین نیاز تا حداقل ظرفیت آن از خروجی کنترل سیلاپ استفاده می‌گردد. $R_{MaxPower}$ حداقل ظرفیت خروجی بر قابی، R_{MaxDe} حداقل ظرفیت خروجی تأمین نیاز و R_{MaxFC} حداقل ظرفیت خروجی کنترل سیلاپ همگی بر حسب میلیون مترمکعب است. لازم به ذکر است که در این حالت R_t بین صفر و مجموع حداقل خروجی‌های مخزن بوده و R_t^{Power} و R_t^{De} به ترتیب میزان رهاسازی از خروجی بر قابی، تأمین نیاز و کنترل سیلاپ در هر دوره t بر حسب میلیون مترمکعب هستند.

۲-۴-۱- بهره‌برداری بهینه از سیستم مخازن با هدف تأمین نیاز پایین دست

در این حالت هدف، کمینه نمودن مجموع مجذور تفاضل از نیاز در دوره t است و به صورت رابطه زیر نمایش داده می‌شود

$$\text{Min. } f_1 = \sum_{t=1}^T \left((R_t^{Power} + R_t^{De} - D_t) / D_{Max} \right)^2 \quad (12)$$

که در این رابطه f_1 مجموع مجذور تفاضل رهاسازی ماهانه $(R_t^{Power} + R_t^{De})$ از نیاز در دوره t ، D_{Max} حداقل نیاز ماهانه مخزن و D_t مقدار نیاز است.

۲-۴-۲- بهره‌برداری بهینه از سیستم مخازن با هدف کنترل سیلاپ و تفریحات در بهره‌برداری با این هدف، تمامی روابط مانند بهره‌برداری با هدف تأمین نیاز پایین دست است فقط تابع هدف به صورت رابطه ۱۳ است

۴-۲- بهره‌برداری از مخزن

در مسائل مربوط به مخزن، تابع هدف معمول به منظور بهینه‌سازی قطعی سیستم مخازن می‌تواند به صورت زیر بیان شود

$$\text{Min.}(\text{Max.}) \quad Z = \sum_{t=1}^T f(S_t, R_t) \quad (4)$$

که در این رابطه t اندیس دوره مورد نظر، T تعداد دوره‌های بهره‌برداری، Z هدفی که باید بینشید و یا کمینه شود، R_t میزان رهاسازی و S_t حجم ذخیره مخزن در دوره t است. معادلات حالت-مکان بر اساس حفظ پایایی جرم در سیستم به عنوان یک رابطه اساسی است که عبارت است از

$$S_{t+1} = S_t + Q_t - R_t - SP_t - Loss_t \quad (5)$$

که در این رابطه Q_t جریان ورودی رودخانه در دوره t ام و SP_t سرریز در دوره t ام و $Loss_t$ کل تلفات آب در دوره t ام است. محدوده‌های بالایی و پایینی حجم ذخیره باید به گونه‌ای باشد که تفریحات و مقاصد تجدیدپذیری حجم کنترل سیلاپ را فراهم آورده و نیز حداقل تراز برای حجم مرده مخزن و بهره‌برداری از نیروگاه را فراهم آورده

$$S_{Min} \leq S_t \leq S_{Max} \quad (6)$$

$$R_{Min} \leq R_t \leq R_{Max} \quad (7)$$

که در این روابط S_{Min} حداقل حجم ذخیره، S_{Max} حداقل حجم ذخیره، R_{Min} حداقل حجم رهاسازی و R_{Max} حداقل حجم رهاسازی است. در تحقیق حاضر تلفات از مخزن به صورت تبخیر و با در نظر گرفتن رابطه خطی سطح-حجم مخزن بر اساس روابط ۸ تا ۱۰ محاسبه شد

$$Loss_t = Ev_t \cdot \overline{A_t} / 1000 \quad (8)$$

$$\overline{A_t} = (A_t + A_{t+1}) / 2 \quad (9)$$

$$A_t = a \times S_t + b \quad (10)$$

که در این روابط Ev_t مقدار متوسط افت در دوره t ام (تبخیر منهای بارش) بر حسب میلی‌متر، $\overline{A_t}$ میانگین میزان سطح آب مخزن در دوره t ام بر حسب کیلومتر مریع، A_t و A_{t+1} به ترتیب میزان سطح آب مخزن بر حسب کیلومتر مریع در ابتداء و انتهای دوره t ام و a و b ضرایب ثابت تبدیل حجم مخزن به سطح متناظر مخزن هستند.

دوره t ام بر حسب متر، a_0, a_1, a_2 و a_3 ضرایب ثابت تبدیل حجم مخزن به ارتفاع متناظر آن، b_0, b_1, b_2 و b_3 ضرایب ثابت تبدیل آب خروجی از نیروگاه به تراز آب پایاب، RP_t میزان رهاسازی از خروجی بر قابی به منظور تولید توان در دوره t ام بر حسب میلیون مترمکعب و RPS_t میزان سرریز از خروجی بر قابی در دوره t بر حسب میلیون مترمکعب است.

۳- مطالعه موردي

به منظور بررسی کاربرد الگوریتم هایی که تاکنون مطرح گردید در این بخش مخزن بازفت به عنوان مورد مطالعاتی مدنظر قرار گرفت. مخزن بازفت بر روی رودخانه بازفت که از سرشاخه های اصلی رودخانه کارون محاسب می گردد، واقع شده است. متوسط جریان سالانه وارد به مخزن برابر $2012/6$ میلیون متر مکعب تخمین زده شده است. جممهای حداقل و حدکثر سد به ترتیب برابر $142/15$ و $450/3$ میلیون مترمکعب و ظرفیت نصب نیروگاه برابر 290 مگاوات است. ارتفاع خروجی بر قابی معادل ارتفاع حجم مرده است و به این ترتیب در تمامی دوره ها امکان رهاسازی از خروجی بر قابی وجود دارد.

۴- نتایج و بحث

۱- مقایسه CP با بهینه یابی چندهدفه بر مبنای الگوریتم PSO

به منظور مقایسه الگوریتم MOPSO و روش های سنتی بهینه سازی چندهدفه که با تبدیل مسئله چندهدفه به تک هدفه به جستجوی جواب می پردازند، مقایسه ای بین آن و CP صورت گرفت. لازم به ذکر است که مدل مورد استفاده الگوریتم MOPSO در قالب برنامه ای در محیط مطلب¹ مورد استفاده قرار گرفت.

همان طور که در بخش معرفی الگوریتم اشاره شد در گرم کردن مدل، بهینه های تک هدفه به عنوان نقاط شروع جستجوی چندهدفه بودند. در CP نیز مطابق رابطه 3 بهترین حالت هر هدف به الگوریتم معرفی شد. همچنین نوعی نرمال سازی اهداف مختلف صورت گرفت که جستجوی نقطه بهینه را بدليل یکسان سازی حدود تغییرات اهداف مختلف آسان تر می کرد. در واقع در این روش، مسئله چندهدفه به تک هدفه تبدیل شد. به این ترتیب با استفاده از ضرایب مختلف نسبت داده شده به اهداف متفاوت و ضرایب توانی مختلف P ، نقاط بهینه ارائه شد. ضرایب متداول مورد استفاده P برابر 1 ، P برابر 2 و P برابر 100 هستند. به این منظور ابزار بهینه سازی این مسائل NLP و نرم افزار به کار رفته بود. به منظور مقایسه مناسب جوابهای ارائه شده توسط

$$\text{Min. } f_2 = \sum_{t=1}^T \left(\frac{S_t - S_t^{\text{target}}}{S_{\text{Max}}} \right)^2 \quad (13)$$

که در این رابطه

S_t^{target} مقدار حجم کنترل سیالاب و تفریحات مورد نظر در دوره t ام بر حسب میلیون مترمکعب است. در تابع هدف معرفی شده، هدف ثابت نگاه داشتن حجم در حدود S_t^{target} در تمام دوره های بهره برداری است. در واقع چنانچه حجم مخزن بیشتر از حجم مورد نظر باشد، هدف کنترل سیالاب و اگر کمتر از آن باشد، هدف تفریحات را تأمین نموده و باعث انحراف از S_t^{target} در هر دوره خواهد شد.

۲- بهره برداری بهینه از سیستم مخازن با هدف تأمین انرژی بر قابی

در این بخش پیچیدگی های مسئله به خصوص از نظر قیود و شرایط غیر خطی اضافه شده و تابع هدف به صورت رابطه 14 نمایش داده می شود

$$\text{Min. } f_3 = \sum_{t=1}^T \left(1 - \frac{P_t}{PPC} \right) \quad (14)$$

که در این رابطه

P_t توان تولیدی در دوره t ام بر حسب مگاوات و PPC ظرفیت نصب مخزن بر حسب مگاوات است. سایر روابط حاکم منطبق بر روابط زیر است

$$P_t = g \cdot e_t \cdot RP_t / PF \cdot Mul_t \cdot (\bar{H}_t - TW_t) / 1000 \quad (15)$$

$$\bar{H}_t = (H_t + H_{t+1}) / 2 \quad (16)$$

$$H_t = a_0 + a_1 \cdot S_t + a_2 \cdot S_t^2 + a_3 \cdot S_t^3 \quad (17)$$

$$(18)$$

$$TW_t = b_0 + b_1 \cdot R_t^{\text{Power}} + b_2 \cdot (R_t^{\text{Power}})^2 + b_3 \cdot (R_t^{\text{Power}})^3$$

$$RPS_t = R_t^{\text{Power}} - RP_t \quad (19)$$

$$0 \leq P_t \leq PPC \quad (20)$$

که در این روابط

شتات جاذبه زمین و برابر $9/81$ متر بر مجدوهر ثانیه، e_t بازده نیروگاه که برای تمامی دوره ها ثابت فرض شده است، PF ضریب کارکرد نیروگاه، Mul_t ضریب تبدیل میلیون متر مکعب به متر مکعب بر ثانیه در دوره t ام، \bar{H}_t متوسط تراز آب مخزن در دوره t ام بر حسب متر، H_t تراز آب در ابتدای دوره t ام بر حسب متر، H_{t+1} تراز آب در انتهای دوره t ام بر حسب متر، TW_t تراز آب پایاب در

¹ Matlab7.0

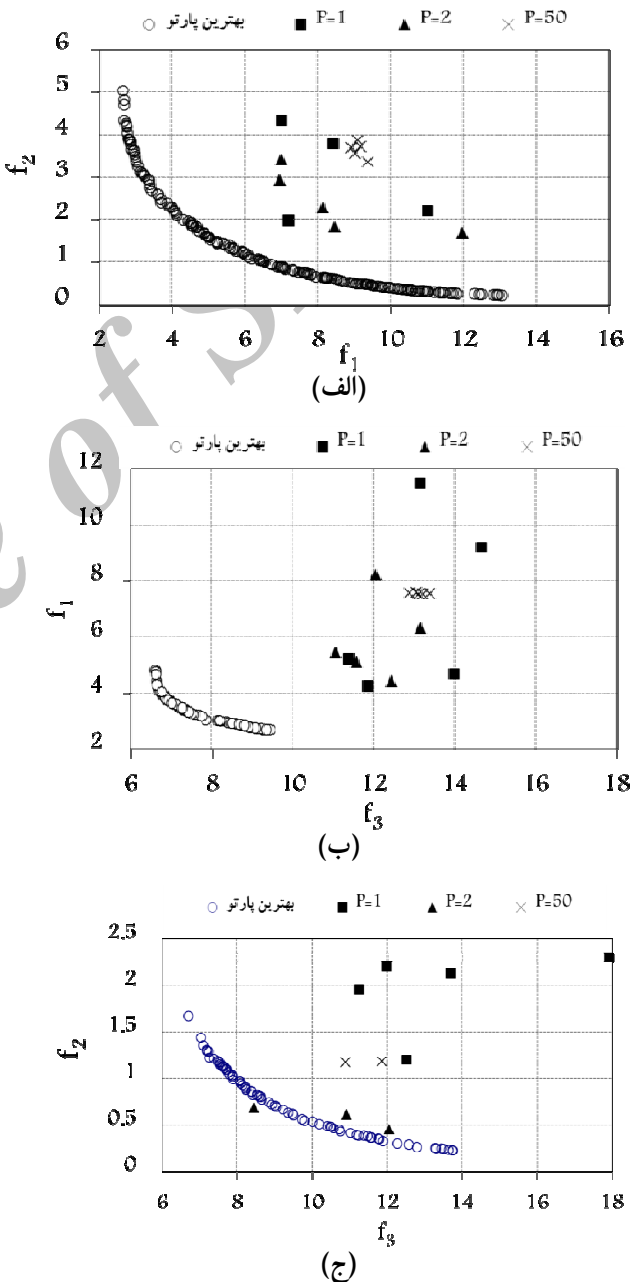
همان طور که مشاهده می‌گردد نقاطی که از CP به دست آمده، قادر به ارائه مجموعه‌ای که شامل جوابهای غیرغالب باشد را نداشته و این نقاط در برخی موارد بر یکدیگر غلبه نموده‌اند. همان‌طور که قبل‌آن اشاره شد نقاط ارائه شده توسط CP در زمان‌های مشابه یعنی ۱۵ دقیقه، به دست آمده است. نرم‌افزار LINGO11 به دلیل وابستگی شدید به نوع تعریف مسئله، طی زمان پیشنهادی با توجه به اهداف متفاوت، عملکرد متفاوتی به جای گذاشته و به این دلیل، برخی نقاط به حالت بهینه خود نزدیک و برخی از آن دور هستند، در نتیجه امکان ارائه مجموعه‌ای از نقاط غیرغالب وجود نداشته است. بنابراین الگوریتم MOPSO نتایج مناسب‌تری نسبت به CP ارائه نموده است.

۲-۴- مقایسه نتایج الگوریتم MOPSO با NLP

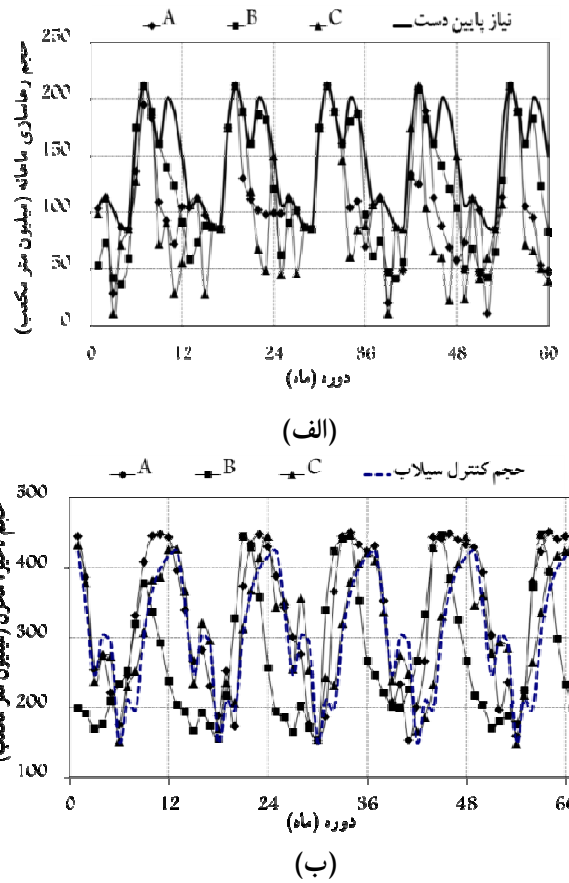
در این بخش بهره‌برداری با اهداف تولید انرژی بر قابی، تأمین نیاز پایین دست و کنترل سیالاب و تفریحات مد نظر قرار گرفت. تعداد تکرار در قسمتهای تک‌هدفه جستجو (گرم کردن مدل)، ۶۰۰۰۰ برای هدف بر قابی و ۱۰۰۰۰ برای هدف تأمین نیاز پایین دست و ۱۵۰۰۰ برای هدف کنترل سیالاب و تفریحات و تعداد تکرار جستجوی چند‌هدفه ۱۵۰۰۰، همچنین تعداد ذرات ۱۰ بود. مجموعه جواب حاصل از الگوریتم MOPSO در شکل ۳ نمایش داده شده است. به‌منظور بررسی نقاط مختلف این مجموعه جواب، نقاط حاصل از NLP به عنوان بهینه تک‌هدفه به دست آمده و نقطه‌ای از مجموعه جواب که کمترین فاصله از بهینه هدف تولید انرژی بر قابی حاصل از NLP را داشته با A و نقطه‌ای که دارای کمترین فاصله از بهینه هدف تأمین نیاز پایین دست بوده با B و نقطه‌ای که دارای کمترین فاصله از بهینه هدف کنترل سیالاب و تفریحات داشته، با C نمایش داده شده است (شکل ۳). در شکل ۴ نیز به ترتیب مقدار متغیرهای تصمیمی (رهاسازی ماهانه) و متغیرهای حالت (حجم ذخیره ماهانه) هر کدام از نقاط بالا نمایش داده شده است. در نقطه A که بهترین نقطه از نظر هدف بر قابی است، بیشترین مقدار حجم مخزن در دوره‌های مختلف و در نقطه C که بهترین نقطه از نظر هدف کنترل سیالاب و تفریحات است، بیشترین مجاورت با حجم هدف در دوره‌های مختلف وجود دارد. همچنین در نقطه B که بهترین نقطه از نظر هدف تأمین نیاز است، کمترین فاصله با مقادیر نیاز وجود دارد.

همان‌طور که در نتایج بهره‌برداری سه‌هدفه از مخزن نشان داده شد، الگوریتم MOPSO توانایی تولید نقاط مجموعه‌هایی در قسمتهای میانی محدوده‌های جواب همچنین قسمتهایی که به بهینه‌های تک‌هدفه نزدیک است، را دارد است. به‌منظور مقایسه

این نرم‌افزار با یکدیگر زمان اجرای ۱۵ دقیقه، برای ضرایب مختلف در نظر گرفته شد. برنامه‌های مورد استفاده در هر بار جستجو پس از ۱۵ دقیقه متوقف شد و جواب حاصل به عنوان نقطه بهینه گزارش شد. همچنین این نرم‌افزار قابلیت حل مستله برای ضریب P بیش از ۵۰ را ظرف مدت زمان پیشنهادی یعنی ۱۵ دقیقه نداشت. بنابراین بیشترین مقدار در نظر گرفته شده برای این ضریب ۵۰ بود. شکل ۲ مجموعه جوابهای حاصل از ترکیبات اهداف مختلف را در مقایسه با مجموعه جوابهای حاصل از CP نمایش می‌دهد.



شکل ۲- مجموعه جوابهای حاصل از ترکیبات اهداف الف- f_1-f_2 ، ب- f_2-f_3 - و ج- f_1-f_3

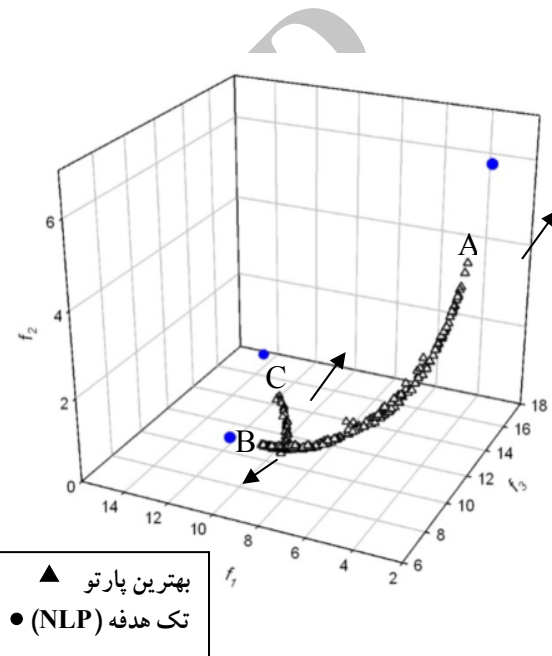


شکل ۴- مجموعه‌های ماهانه الف- رهاسازی مخزن و ب- حجم ذخیره مخزن

۵- نتیجه‌گیری

در تحقیق حاضر الگوریتم PSO که کارایی خود را در ارائه مجموعه جوابهای بهینه در مسائل بهینه‌سازی تک‌هدفه اثبات کرده است، بهمنظور حل مسائل بهره‌برداری چندمنظوره مخزن استفاده شد. بهمنظور نمایش میزان کارایی این الگوریتم نسبت به روش‌های سنتی که با تبدیل مسئله چندهدفه به تک‌هدفه به حل مثال می‌پردازند، مقایسه‌ای میان این الگوریتم در محیط مطلب و CP در محیط LINGO11 صورت گرفت که در زمان برابر، LINGO11 نه تنها قادر به ارائه مجموعه جواب غیرغالب نبود بلکه در برخی موارد در مدت زمان محاسبات قادر به ارائه راه حل بهینه نیز نبود. بر این اساس در این مرحله وجود پوش و توزیع مناسب نقاط در قسمتهای میانی مجموعه جواب حاصل از MOPSO مشخص شد. در ادامه به بررسی این مطلب که آیا این نقاط فقط در قسمتهای میانی مرکز دارند و یا در نقاط انتهایی که به بهینه‌های تک‌هدفه نزدیک هستند نیز وجود دارند، پرداخته شد. به این منظور بهترین نقاط مجموعه جواب از نظر هر هدف با بهینه‌های NLP مقایسه شد. نتایج حاکی از آن بود که این نقاط بین ۰/۰۲ تا ۰/۸۲ درصد از بهترین مقادیر (بهینه‌های تک‌هدفه) فاصله دارند.

نقاط انتهایی مجموعه‌های جواب (نقاطی که به بهینه‌های تک‌هدفه نزدیک است)، در جدول ۱ نقاط نزدیک بهینه‌های تک‌هدفه در بهره‌برداری سه‌هدفه با بهینه‌های حاصل از بهره‌برداری تک‌هدفه با استفاده از NLP مقایسه شده است. بهمنظور بررسی دقیق‌تر اعداد بالا، مقادیر ذکر شده به اعدادی در محدوده صفر تا یک تبدیل شد. به این ترتیب به بهترین (کمترین) مقدار تابع هدف عدد یک و به بدترین (بیشترین) مقدار عدد صفر اختصاص یافت. بر اساس اعداد نمایش داده شده در این جدول الگوریتم MOPSO توانایی دستیابی به نقاط نزدیک بهینه تک‌هدفه در تمامی اهداف را داشت، به طوری که این اختلاف در بهترین حالت هدف تأمین نیاز پایین دست به کمترین مقدار خود یعنی ۰/۰۲ درصد رسید.



شکل ۳- نمایش بهترین مجموعه جواب بهره‌برداری سه‌هدفه سد بازفت

جدول ۱- مقایسه بهینه‌های تک‌هدفه و توابع هدف نقاط A، B و C

مجموعه جواب الگوریتم چندهدفه

f_3	f_2	f_1	نوع بهینه‌سازی
۱	.۷۶۱۱	.۴۱۰۰	NLP
.	۱	.	
.۲۲۳۹	.	۱	MOPSO
.۹۹۱۸	.۷۶۶۳	.۵۲۹۸	
.۴۱۷۹	.۲۷۷۶	.۹۹۹۸	
.۲۹۹۳	.۹۹۹۵	.۲۱۷۵	

- 1-Elbeltagi, E., Hegazy, T., and Grierson, G. (2005). "Comparison among five evolutionary-based optimization algorithms." *J. of Advanced Engineering Informatics*, 19(1), 43-53.
- 2-Blum, C., and Roli, A. (2003). "Metaheuristic in combinatorial optimization: Overview and conceptual comparison." *J. of ACM Computing Surveys*, 35(3), 268-308.
- 3-Rajabpur, R., and Afshar, M.H. (2008). "Optimized operation of serial pump stations using the PSO algorithm." *J. of Water and Wastewater*, 66, 56-66. (In Persian)
- 4-Chow, V.T., Maidment, D.R., and Mays, L.W. (1988). *Applied hydrology*, McGraw-Hill, New York.
- 5-Meraji, S.H., Afshar, M.H., and Afshar, A. (2006). "Reservoir operation by particle swarm optimization algorithm." *7th International Conference of Civil Engineering*, Tehran, Iran.
- 6-Balter, A.M., and Fontane, D.G. (2006). "A multiobjective particle swarm optimization model for reservoir operations and planning." *Proceeding of International Conference on Computing and Decision Making in Civil and Building Engineering*, Montreal, 1544-1552.
- 7-Coello, C.A., and Lechunga, M.S. (2002). "MOPSO: A proposal for multiple objective particle swarm optimization." *Proceeding of IEEE Congress on Evolutionary Computation*, IEEE Service Center. Piscataway, NJ, 2, 1677-1681.
- 8-Kumar, D., and Reddy, J. (2007). "Multiple reservoir operation using particle swarm optimization." *J. of Water Resources Planning and Management*, 133(3), 192-202.
- 9-Kennedy, J., and Eberhart, R. (1995). "Particle swarm optimization." *Proceeding of the International Conference on Neural Networks*, Perth, Australia, 1942-1948.
- 10-Parsopoulos, K.E., and Vrahatis, M.N. (2002). "Particle swarm optimization method in multiobjective problems." *Proceedings of the 2002 ACM Symposium on Applied Computing*, Madraida, Spain, 603-607.
- 11-Zeleny, M. (1973). "Compromise programming." Cocharane, M., Zeleny, M. (Eds.), *Multiple criteria decision making*, University of Southern Carolina Press, Columbia.
- 12-Asgharpour, M.J. (2007). *Multicriteria decision making*, Tehran University Press, Tehran. (In Persian)